

УДК 541.64:547.539.1

**О СТРУКТУРИРОВАНИИ ФТОРКАУЧУКА СКФ-26  
ФОСФОРСОДЕРЖАЩИМИ ПРОИЗВОДНЫМИ ГИДРОХИНОНА**

*Карасев Л.П., Букалов В.П., Вальдман А.И.,  
Нифантьев Э.Е., Тусеев А.П.*

Показано, что фторкаучук СКФ-26, реагируя с бисфосфорилированными производными гидрохинона, структурируется, образуя вулканизаты с ценным комплексом свойств. Структурирование проходит в результате алкилирования фторкаучуком фосфитов с образованием фосфор-углеродной связи по механизму реакции Арбузова. Методом высокотемпературной непрерывной химической релаксации напряжения исследован процесс термоокислительной деструкции полученных сетчатых структур.

Существующие способы структурирования фторкаучуков, в том числе СКФ-26, далеко не в полной мере удовлетворяют возросшим требованиям техники к резинам, способным выдержать действие высоких температур, сильноагрессивных сред и других факторов. В этом отношении богатые возможности открывает использование некоторых производных фосфористой кислоты [1, 2].

Как известно [3], фторкаучук СКФ-26 в процессе структурирования нуклеофилами, например аминами, диолами и дитиолами, проявляет свойства системы галоидных алкилов с подвижными атомами фтора при третичных атомах углерода, связанных с электроотрицательными радикалами  $\text{CF}_3$ , и в образующихся при дегидрофторировании каучука аллильных фрагментах, где связь C—F ослаблена эффектом сопряжения. Взаимодействуя с фосфитами подобно фторированным олефинам [4], фторкаучук подвергается модификации с образованием «подвесок» — звеньев квазифосфониевого типа или фрагментов производных алкилфосфоновой кислоты. Использование в этих случаях соединений с двумя и более реакционными центрами приводит к образованию трехмерной структуры вулканизата.

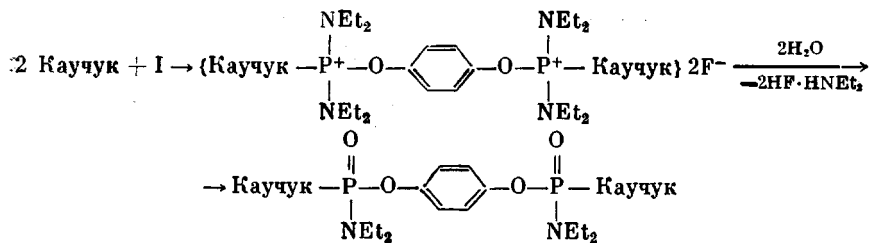
В настоящей работе исследованы структурирующие свойства фосфорсодержащих амидоэфиров и эфиров гидрохинона общей формулы



где  $\text{R}=-\text{N}(\text{C}_2\text{H}_5)_2$  (I),  $-\text{OC}_4\text{H}_9$  (II),  $-\text{OC}_6\text{H}_5$  (III).

Полученные данные показали, что эти соединения структурируют СКФ-26, при этом получаются резины, устойчивость поперечных связей и физико-механические свойства которых зависят от химического строения веществ и условий вулканизации.

Структурирование СКФ-26 амидофосфитом I можно представить как алкилирование по фосфору с образованием квазифосфониевого комплекса, который, реагируя с водой, выделяющейся при дегидрофторировании каучука вследствие взаимодействия окислов металлов с HF или десорбции из вводимых добавок, после отщепления диэтиламина переходит в алкилфосфонат



Предложенную схему подтверждают полученные спектральные данные. Так, в ИК-спектре пленки каучука, прогретой в условиях вулканизации с продуктом I, идентифицированы следующие полосы поглощения: 1470 и 1505 (фенилен), 1200 (Р—О—арил), 1245 (Р=О), 1225 (С—F), 3340  $\text{cm}^{-1}$  (NH). Переход фосфора в пятивалентное состояние

Таблица 1

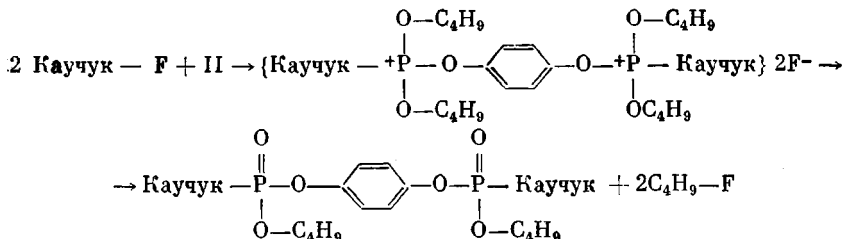
Структурирующие свойства фосфорсодержащих производных гидрохинона

Соединение	Физико-химические свойства веществ		Физико-механические свойства ненаполненных вулканизатов *							
	$n_D^{20}$	$d_4^{20}$	вулканизация в прессе (150°, 60 мин.)				термостатирование (200°, 24 часа)			
			1/Q	$\sigma_p$	$L_{\text{отн}}$	$L_{\text{ост}}$	1/Q	$\sigma_p$	$L_{\text{отн}}$	$l_{\text{ост}}$
I	1,5115	0,996	0,19	9,5	250	8	0,45	14,5	65	3
II	1,4809	1,024	0,17	8,5	310	15	0,30	12,0	180	7

\* 1/Q — Степень структурирования, оцененная величиной обратного набухания в ацетоне;  $\sigma_p$  — напряжение при разрыве, МПа;  $L_{\text{отн}}$  и  $l_{\text{ост}}$  — относительное и остаточное удлинения, %

установлен также аналитически и методом ЯМР на модельной реакции СКФ-26 с бис-диэтиламидом фенилфосфористой кислоты —  $\text{C}_6\text{H}_5\text{OP}(=\text{O})(\text{OC}_2\text{H}_5)_2 \times [\text{N}(\text{C}_2\text{H}_5)_2]_2$  (IV), который характеризуется сигналом ЯМР  $^{31}\text{P}\delta = -131$  м.д. [5]. В продукте реакции (СКФ-26+соединение IV) появляется новый сигнал,  $\delta = 23,5$  м.д., соответствующий пентаковалентному фосфору.

Структурирование СКФ-26 фосфитом II, по данным спектроскопии и газожидкостной хроматографии, проходит по механизму реакции Арбузова



В частности, в ИК-спектре структурированной пленки (СКФ-26+фосфит II) обнаружены следующие полосы поглощения: 1470 и 1505 (фенилен), 1035 (Р—О—алкил), 1205 (Р—О—арил), 1225 и 1395  $\text{cm}^{-1}$  (С—F и С—Н каучука). В газовыделениях вулканизата идентифицирован фтористый бутил (хроматограф АХМ-8МД с колонкой длиной 3 и диаметром 4 мм, адсорбент — молекулярные сита 5 Å, скорость газа-носителя гелия 50 л/мин, температура 50°, время выхода 195 сек).

Фосфит III, реагирующий с иодистыми алкилами при 130° [6], взаимодействует с СКФ-26 с образованием соединений фосфониевого типа только в результате длительного нагревания при температуре выше 220°.

При использовании соединений I и II ( $1,5 \cdot 10^{-2}$  г-моль на 100 г каучука) в процессе двухстадийной вулканизации получены резины с достаточ-

но высокими физико-механическими показателями (табл. 1). Степень структурирования полученных вулканизатов различна. В связи с тем, что диэтиламин, выделяющийся при взаимодействии СКФ-26 с амидофосфитом I, участвует в дополнительном структурировании каучука, у вулканизата заметно возрастает густота пространственной сетки.

Химическую стойкость поперечных связей исследовали по результатам воздействия на резины концентрированной азотной кислоты, которая, как известно [7], не затрагивает молекулярных цепей фторполимера, но разрушает связи C—N и C=N в вулканизатах аминного типа. Установлено,

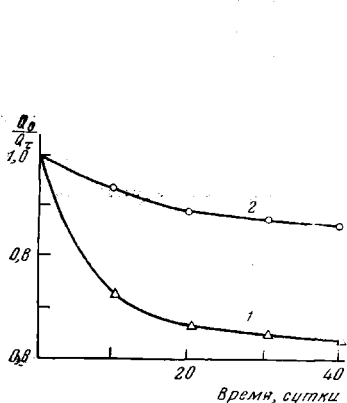


Рис. 1

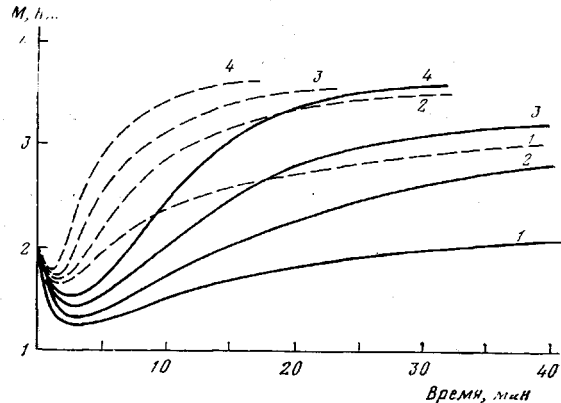


Рис. 2

Рис. 1. Изменение густоты пространственной сетки вулканизатов на основе СКФ-26 при набухании в 57 %-ной азотной кислоте:  
 1 — с продуктом I; 2 — с продуктом II;  $Q_0$  — набухание исходного вулканизата в ацетоне, %;  
 $Q_t$  — набухание вулканизата в ацетоне после воздействия азотной кислоты, промывки водой и высушивания, %

Рис. 2. Кинетические кривые вулканизации СКФ-26 фосфитом II без добавки (сплошные линии) и с использованием ускорителя (пунктир) при 150 (1), 160 (2), 170 (3) и 180° (4).  $M$  — крутящий момент

что степень разрушения кислотой поперечных связей образцов различна (рис. 1). Наилучшая химстойкость достигается при использовании в качестве структурирующего агента фосфита II. Вулканизаты с этим продуктом по стойкости к воздействию азотной кислоты равнозначны перекисным [7]. Связи, образованные амидофосфитом I, химически менее стойки. Во всех случаях коэффициенты деструкции вулканизатов коррелируют с изменением их физико-механических показателей.

Кинетика структурирования СКФ-26 изучена на примере использования продукта II без добавки и в смеси с ускорителем вулканизации — 2-метил-5-этилпиридиний-метилсульфатом ( $0,5 \cdot 10^{-5}$  г-моль на 100 г каучука). Обработка кинетических кривых рис. 2, полученных на реометре «Монсанто», по методу [8] показала, что их восходящие участки могут быть аппроксимированы экспоненциальной функцией, а процесс вулканизации носит характер квазипервого порядка с индукционным периодом, длительность которого убывает с повышением температуры. Из уравнений Аррениуса и теории абсолютных скоростей реакций найдены активационные параметры структурирования. Для смеси без ускорителя эффективная энергия активации  $E_{акт}=16,5$  ккал/моль, предэкспонент  $lg A=5,50$  [сек<sup>-1</sup>], энтропия активации  $\Delta S^\ddagger=-35,4$  э.ед, свободная энергия активации  $\Delta G^\ddagger=-26,4$  ккал/моль, для смеси с ускорителем  $E_{акт}=11,3$  ккал/моль,  $lg A=3,0$  [сек<sup>-1</sup>],  $\Delta S^\ddagger=-46,8$  э.ед,  $\Delta G^\ddagger=24,7$  ккал/моль. Значения активационных параметров ускоренной вулканизации свидетельствуют о более легком образовании пространственных структур под влиянием четвертичного аммонийного комплекса. Роль последнего, вероятнее всего, проявляется

ся в ускорении процесса дегидрофторирования каучука и, следовательно, в увеличении доли фтораллильных участков, обладающих лучшими алкилирующими свойствами по сравнению с звеном  $\text{CF}_3-\text{C}-\text{F}$ .

Одним из показателей, характеризующих теплостойкость фтористых резин, является их сопротивление термоокислению в условиях высокотемпературной химической релаксации напряжения. Термоокислительная деструкция вулканизата в воздушной среде обусловлена, во-первых, распадом поперечных сшивок узлов сетки и, во-вторых, деструкцией основной цепи

Таблица 2

Кинетические и активационные параметры химической релаксации напряжения при растяжении на 50% ненаполненных вулканизатов на основе СКФ-25 \*

Элементарный процесс	210°			230°			250°			270°			$E_{акт}$	$\lg A$	$-\Delta S^{\neq}$	$\Delta G^{\neq}$
	$\tau$	$\Delta\sigma$	$\kappa \cdot 10^4$													
Вулканизаты с амидофосфитом I																
1	1,1	0,12	12,9	0,5	0,14	17,6	0,2	0,15	22,9	0,1	0,15	30,2	7,2	0,37	58,8	24,1
2	14	0,32	0,52	8,5	0,30	1,24	5,5	0,33	2,45	1,5	0,34	5,55	20,5	5,01	37,7	31,1
3	50	0,38	0,08	32	0,32	0,23	16	0,31	0,68	5,5	0,34	1,70	26,0	6,72	30,0	34,3
4	96	0,28	0,01	65	0,24	0,02	23,5	0,21	0,03	15	0,21	0,07	30,5	7,14	28,1	38,3
Вулканизаты с фосфитом II																
1	1,31	0,14	10,6	0,9	0,16	15,1	0,3	0,17	18,6	0,2	0,18	23,4	6,9	0,15	59,8	24,1
2	16	0,24	0,37	12	0,22	0,85	7,5	0,26	1,41	2,1	0,28	3,63	19,5	4,40	40,4	30,9
3	68	0,31	0,04	39	0,29	0,15	20	0,26	0,27	12	0,26	0,70	27,2	6,80	29,4	35,4
4	116	0,31	0,01	65	0,33	0,02	27	0,31	0,27	16	0,29	0,22	31,2	7,90	24,4	37,9

\*  $\tau$  — Время релаксации, часы;  $\Delta\sigma$  — доля потери исходного напряжения;  $\kappa$  — константа скорости реакции,  $\text{сек}^{-1}$ ; размерности активационных параметров указаны в тексте.

дегидрофторированного полимера [9]. Природа связей, образованных СКФ-26 с исследованными соединениями, имеет различия, поэтому представлялось интересным изучить характер и скорость разрушения полученных структур и установить температурные интервалы работоспособности вулканизатов с целью определения возможности их практического использования.

Показатели термоокислительного старения вулканизатов в интервале температур 210–270° получены по результатам изменения непрерывной химической релаксации напряжения при растяжении на 50%. Эти зависимости не являются экспоненциальными, поэтому кривые релаксации разлагали по методу Брюханова — Тобольского [10] на процессы, соответствующие элементарным термоокислительным актам. Для каждого из них найдены кинетические и активационные параметры, значения которых представлены в табл. 2.

Анализ процесса деструкции фтористых резин позволяет выделить в нем четыре стадии. Первая — кратковременная и наиболее быстрая — характеризуется малыми значениями  $E_{акт}$  и наиболее благоприятными  $\Delta S^{\neq}$  и, по-видимому, связана с разрывом межмолекулярных ионных и водородных связей. На второй стадии  $E_{акт}$  близка к энергии активации термоокислительной деструкции ненасыщенных каучуков (~21 ккал/моль) [11]. Эта стадия, по всей вероятности, свойственна процессу разрушения привитых к фторкаучуку карбоневых систем, в том числе сложноэфирных связей фосфорорганических соединений. На третьей и четвертой стадиях, которые протекают с различной скоростью и характеризуются наибольшими значениями  $E_{акт}$ , очевидно, происходит распад узлов сетки и главных цепей фторполимера. Полученные значения  $E_{акт}$  близки к таковым для термоокислительной деструкции фторэластомеров при пиролизе (~30 ккал/моль) [12]. В процессе постадийной релаксации значения  $\Delta G^{\neq}$

и  $\lg A$  возрастают, а между  $E_{акт}$  и  $\lg A$  наблюдается прямая компенсационная зависимость. Выделенные уровни энергии активации удовлетворительно согласуются с данными, полученными Кузьминским с сотр. [9]. Из рассмотренных параметров с учетом постадийной скорости и общего времени химической релаксации следует, что лучшей теплостойкостью обладают резины, полученные с использованием фосфита II.

Таким образом, применение метода непрерывной химической релаксации позволяет объективно оценивать теплостойкость пространственных структур с различными типами связей и возможность практического использования разрабатываемых рецептур с новыми вулканизирующими агентами.

Всесоюзный научно-исследовательский  
и конструкторско-технологический  
институт резиновой промышленности

Поступила в редакцию  
18 X 1978:

#### ЛИТЕРАТУРА

1. В. П. Букалов, Л. П. Карапет, А. П. Тусеев, С. Ю. Сизов, А. М. Огрель, Г. С. Ба-баева, Авт. свид. 438661, 1973; Бюлл. изобретений, 1974, № 29.
2. В. П. Букалов, А. П. Тусеев, Л. П. Карапет, В. П. Мельников, Авт. свид. 537095, 1975; Бюлл. изобретений, 1976, № 44.
3. Ф. А. Галил-оглы, А. С. Новиков, З. Н. Нудельман, Фторкаучуки и резины на их основе, «Химия», 1966.
4. И. Л. Кнунянц, В. В. Тюленева, Е. Я. Первова, Р. Н. Стерлин, Изв. АН СССР, серия химич., 1964, 1797.
5. Ю. Ю. Самитов, Т. В. Зыкова, В сб. Химия и применение фосфорорганических соединений, «Наука», 1972, стр. 49.
6. Н. А. Мукменева, П. А. Кирпичников, А. Н. Пудовик, Ж. общ. химии, 33, 3192, 1963.
7. Н. С. Гилинская, Ф. А. Галил-оглы, Г. А. Губай, А. С. Новиков, Каучук и резина, 1964, № 12, 7.
8. С. М. Марков, А. М. Полехин, Н. А. Лошадкин, Г. А. Костенко, З. В. Морозова, М. М. Якубович, Ж. общ. химии, 36, 1098, 1966.
9. Ф. А. Махис, Л. Я. Никитин, А. С. Кузьминский, А. В. Крюкова, Высокомолек. соед., А18, 101, 1976.
10. Г. М. Бартенев, Релаксационные явления в полимерах, «Химия», 1972, стр. 249.
11. А. С. Кузьминский, Л. И. Любчанская, Л. Г. Ангерт, Г. К. Михайлова, В сб. Достижения науки и технологии в области резины, «Химия», 1969, стр. 96.
12. Г. Г. Дегтева, А. С. Кузьминский, В сб. Химические свойства и модификация полимеров, «Наука», 1964, стр. 110.

#### ON THE STRUCTURIZATION OF THE FLUORINE RUBBER SKF-26 BY PHOSPHOROUS-CONTAINING DERIVATIVES OF HYDROQUINONE

*Karasev L. P., Bukalov V. P., Val'dman A. I.,  
Nifant'ev E. E., Tuseev A. P.*

#### Summary

The structurization of the fluorine rubber SKF-26 during the reaction with *bis*-phosphorylated derivatives of hydroquinone and the formation of the vulcanizates with useful properties have been proved. The structurization is a result of the alkylation of phosphites by fluorine rubber, accompanied by the formation of the phosphorous-carbon bond by the Arbuzov reaction. The process of the thermal-oxidative degradation of the networks structures obtained was studied by the method of high-temperature continuous chemical stress relaxation.